

УДК 553.411(571.62)

*Г. С. Мирзеханов*

**УСЛОВИЯ ФОРМИРОВАНИЯ  
СТРАТИФОРМНОГО ЗОЛОТОКВАРЦЕВОГО ОРУДЕНЕНИЯ  
УГЛЕРОДИСТО-ТЕРИГЕННЫХ ТОЛЩ ЮЖНОГО ВЕРХОЯНЬЯ  
(Хабаровский край)**

Рассмотрены литолого-фациальные, петрогохимические, минералогические особенности рудовмещающих углеродисто-терригенных толщ, условия их преобразования. Показано наличие последовательного ряда преобразований сингенетической сульфидной минерализации, существенного перераспределения петрогенных и рудогенных компонентов в разрезе УТТ. Установлено место золотокварцевого стратиформного оруденения и предложена модель его формирования.

Золотое оруденение углеродисто-терригенных толщ (УТТ) миогеосинклиналей привлекает пристальное внимание исследователей масштабностью проявления и отсутствием каких-либо установленных связей с проявлениями магматизма. Его природа интерпретируется с различных, порой диаметрально противоположных, позиций. Одни исследователи относят его к плутоногенно-гидротермальным [3, 15], другие — к метаморфогенно-гидротермальным [1, 6, 13], третья — к осадочно-гидротермальным метаморфизованным [5, 12].

Автором на рудных полях Южного Верхоянья в пределах Хабаровского края получены новые данные по литолого-фациальным, петрогохимическим особенностям УТТ, условиям их накопления и постдиагенетическим преобразованиям, что в целом позволило обосновать модель формирования золотокварцевого стратиформного оруденения углеродисто-терригенных толщ.

**I. Геолого-структурные и литолого-фациальные обстановки локализации оруденения.** Золоторудные поля рассматриваемой миогеосинклиналии локализуются в узких зонах интенсивных дислокаций и соответствуют сложно построенным пликативным структурам III порядка, протяженностью 10—15 км и шириной 3—5 км. Особенности внутреннего строения определяются сочетанием разнопорядковых асимметричных, изоклинальных, нередко опрокинутых складок и соскладчатых разрывов, кливажа осевой плоскости, т. е. элементов, характерных для шовной (ламинарного течения) складчатости, по Е. И. Паталахе [7], и сопутствующего динамотермального метаморфизма.

Верхнепалеозойские УТТ, общей мощностью около 2 км, вмещают слабозолотоносную сульфидную минерализацию и пространственно ассоциирующее с ней золотокварцевое оруденение. Слабозолотоносная сингенетическая сульфидная минерализация, представленная слоистыми телами, конкрециями, послойной вкрапленностью, развита в монотонных алевропелитах, преимущественно тяготея к маломощным (0,1—5 мм) прослоям тонкозернистых песчаников или туфодиамиктов.

К горизонтам грубозернистых пород или к наиболее гетерогенным интервалам приурочены стратифицированные золотокварцевые жилы, выполняющие различные системы соскладчатых дизъюнктивов (внутри- и межслоевые отслоения и срыва, системы трещин отрыва и скола). Сочетание последних, в свою очередь, определяет морфологию кварцево-жильных тел — пластовые, седловидные, лестничные жилы и зоны сетчатого

прожилкования, сопровождающиеся передко окологильными зонами сульфидизации. Хорошо выраженное ритмичное строениеrudовмещающей части разреза УТГ (мощная (300—500 м) алевропелитовая составляющая, сменяющаяся относительно маломощным (10—100 м) горизонтом грубозернистых пород) позволяет отчетливо отличать ее от подстилающих и перекрывающих толщ. В пределахrudных полей закартировано до четырех подобных ритмов, составляющие которых характеризуются направленной изменчивостью фаций, типов слоистости и мощностей. Центральные части выделяются наибольшими мощностями, однородностью строения (соотношение прослоев алевропелитов и тонкозернистых песчаников 100 : 1, реже 50 : 1), горизонтальной градационной слоистостью алевропелитов. К флангам возрастает доля песчаниковых прослоев (до 10 : 1), появляются текстуры мутьевых потоков, оползней. Горизонты грубозернистых пород претерпевают аналогичную смену типов слоистости, однако, в отличие от алевропелитов, центральные части характеризуются наибольшей гетерогенностью и грубозернистостью (конгломераты, конглобрекции, разнозернистые песчаники, линзы алевролитов, туфодиамиты), сменяясь к краевым частям мощными пачками однородных мелко-среднезернистых песчаников.

Симметричная зональность фациального строения УТГrudных полей, наряду с широким развитием в составе пород конседиментационных брекций, олистостромоподобных образований, и другие особенности, типичные по представлениям ряда исследователей [8, 10, 12] для турбидитов, позволяют считать, что сложно построенные терригенные толщи накапливались в локальных глубоководных палеовпадинах. Границами относительно приподнятых и глубоководных участков морского дна, вероятно, служили конседиментационные разломы, формирующие естественные уступы-склоны значительной крутизны, положение которых фиксируется развитием диамититов и олистостромовых пород.

**II. Петрогоеохимические особенности пород.**Петрогоеохимические особенности рассмотрены в целом поrudным полям с использованием диаграмм, построенных по петрохимическим модулям Я. Э. Юдовича [16], и диаграммы  $AF$  — А. А. Предовского [9], позволяющих корректно провести сравнительный анализ разнозернистых пород различной степени постдиагенетических преобразований.

На диаграмме  $AF$  — А. А. Предовского алевролиты обособляются в поле гидрослюдистых глин и основных граувакк, песчаники — граувакк. В обоих случаях составы пород выделяются по отношению к средним составам песчаников и глинистых сланцев рядом особенностей.

В первую очередь, это нормальная и повышенная щелочность (рис. 1), высокие значения фемического, натриевого модулей, повышенные содержания окиси титана, глиномеза и преимущественное преобладание залкисного железа над окисным. Наряду с этим следует отметить, что алевропелитовые \* составляющие характеризуются повышенными содержаниями золота, хрома, углерода и высокой их дисперсией. Коэффициенты концентрации золота в частных выборках колеблются от 1 до 15. Содержания органического углерода в породах колеблются от 0,1 до 3,25 %. Максимальные его значения фиксируются в алевропелитах (0,4—3,25 %), минимальные — в грубозернистых породах — до 0,8 %.

Типоморфным для пород разреза является и широкое развитие сульфидов железа. В целом же изменчивость этих параметров по составляющим ритмопачек не существенная, однако, отмечается дифференциацияrudных и петрогенных компонентов, типоморфных свойств сульфидов железа в зависимости от степени постдиагенетических преобразований.

Выявленные особенности состава характеризуют углеродисто-терригенные породы как крайне незрелые, которые накапливались в условиях

\* Геохимическая характеристика грубозернистых пород не приводится в связи с приуроченностью к ним кварцево-жильных тел.

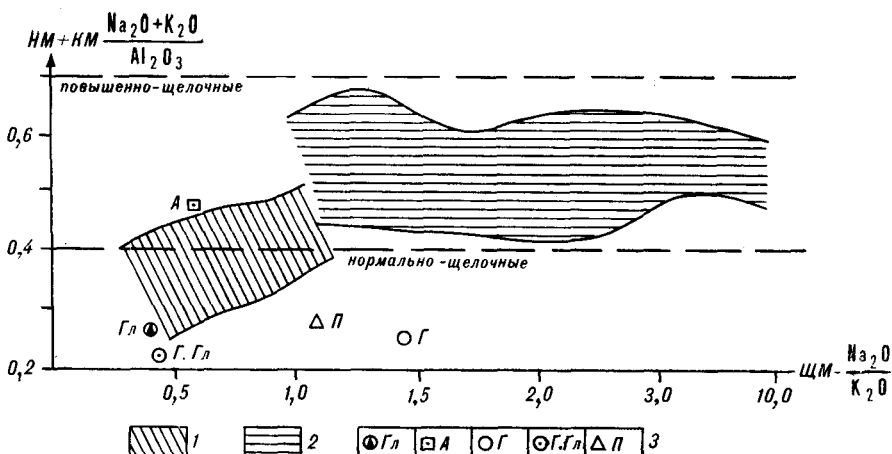


Рис. 1. Диаграмма щелочности пород.

Контуры полей алевролитов (1) и песчаников (2), фигурационные точки составов пород (3): золотистых сланцев (Гл.), по В. А. Буряку (1982), аркоз (А) и гравакк (Г), по Ф. Дж. Петтиджону (1981), глин и глинистых сланцев (Гл. Гл.), песчаников (П), по А. Б. Ронову, А. А. Ярошевскому (1967) [11].

со специфичной восстановительной обстановкой. Высокие содержания золота, мышьяка, хрома, повышенная общая щелочность, фемичность и наличие сингенетической сульфидной минерализации, магнезиально-железистых карбонатов, вероятно, можно объяснить участием в процессе осадконакопления синхронных подводных газогидротерм удаленного вулканизма. Подобные газовые эманации и гидротермы, по данным О. Г. Борисова [2], наиболее обогащены натрием, мышьяком и другими рудогенными элементами.

**III. Постдиагенетические преобразования углеродисто-терригенных толщ.** В целом по региону преобразования не превышают условий серпентит-хлоритовой субфации зеленосланцевой фации [14]. Детальными исследованиями в пределах рудных полей оказалось возможным выделение более дробных зон преобразований: серпентитовой, хлоритовой, альбит-мусковитовой. Каждая из зон подчеркивается текстурно-структурными особенностями углеродисто-терригенных пород; типоморфными свойствами пирита — основного минерала слабозолотоносной сульфидной минерализации; морфологией и продуктивностью кварцево-жильных тел, а также дифференциацией петрогенных и рудогенных компонентов.

Серпентитовая зона преобразований охватывает углеродисто-терригенные образования различных уровней, не претерпевших заметных текстурно-структурных изменений. К минеральным новообразованиям, характеризующим эту зону, относятся серпентит (2–10 %), карбонат (5–10 %), очень редко хлорит (до 20 %). Серпентитизация, хлоритизация подвержен, в основном, глинистый базис пород. Рассеянное органическое вещество подчеркивает слоистость и не претерпевает перераспределения. Алевропелитовые составляющие этой зоны характеризуются развитием прослоев, линз, конкреций, сложенных пиритом аллотриоморфно-зернистой структуры (I тип). В ядерных частях зерен под микроскопом не редко устанавливаются реликты марказита. Контуры сульфидных тел в целом конформны литологическим, не редко совместно с вмещающими породами подвержены донному взмучиванию. Пириты этого типа, выявляющие признаки седиментогенного и раннедиагенетического происхождения, выделяются: высокими средними содержаниями золота (1 г/т), меди (985 г/т), свинца (417 г/т), цинка (319 г/т), серебра (12,5 г/т), кобальта (233 г/т), никеля (152 г/т), мышьяка (300 г/т); наименьшими величинами микротвердости ( $H_{ср} = 915 \text{ кгс}/\text{мм}^2$ ) и термоЭДС; электронным типом проводимости; Co/Ni-отношением, превышающим 1 (табл. 1).

Кварцево-жильные тела, представленные преимущественно редкими жилами лестничного типа и зонами сетчатого прожилкования, слабо или

Таблица 1

Геохимическая характеристика пиритов различных морфологических типов рудных полей (содержание элементов приведены в г/т)

Элементы	I тип *			II тип			III тип			IV тип		
	$\bar{X}$	$s$	$v$	$\bar{X}$	$s$	$v$	$\bar{X}$	$s$	$v$	$\bar{X}$	$s$	$v$
Ni	152,2	51,69	47	109,2	0,23	34	75,5	0,11	54	235,7	173,3	56
Co	233,3	143,8	51	118,3	17,61	36	119,5	20,89	38	75,4	28,1	70
Cu	985,6	9079	97	106,7	0,30	100	85,5	0,19	74	651	0,39	121
Pb	416,7	650	40	178,8	308,7	98	155,5	50,58	46	273,6	0,69	196
Ag	12,44	204,8	115	1,29	2,03	110	1,87	2,54	85	7,369	0,59	110
Zn	318,9	537,4	47	194,2	104	165,5	172,1	79	6,76	0,27	93	
Au	0,78	413	260	0,4	0,92	240	0,07	0,004	100	3,67	111,1	206
Co/Ni	1,5	—	—	1,1	—	—	1,6	—	—	0,3	—	—
As	900	—	—	1400	—	—	5200	—	—	3500	—	—

П р и м е ч а н и е. Здесь и далее в таблицах подчеркнуты содержания элементов с логнормальным распределением.  $\bar{X}$  — средние содержания,  $s$  — среднее квадратическое отклонение,  $v$  — коэффициент вариации, %. Количество определений в выборке составляет более 15. As — количественный спектральный анализ, ДВГИ АН СССР; Au — атомно-абсорбционный анализ, чувствительность  $n \cdot 10^{-5} \%$ , остальные элементы — спектральный полуколичественный анализ. Лаборатория ДВИМСа.

вовсе не золотоносны. Главные минералы: кварц, альбит, карбонат, пирит. Температура декрепитации кварца 230—210 °C, пирита — 220—200 °C.

Хлоритовая зона метаморфизма отличается увеличением в составе пород доли хлорита (до 10 %), серицита (до 20 %) и появлением в составе грубозернистых пород альбита. Породам специфичны бласто-алевролитовые, бластопсаммитовые, гранолепидобластовые структуры и сланцеватые текстуры. Преобразованиям подвержен как базис пород, так и обломочный материал. Зерна кварца интенсивно корродированы, почти не сохранили свои первичные очертания, в теневых участках зерен появляются специфичные «бороды» регенерированного кварца, обусловленные, по представлениям многих исследователей [1, 4], динамотермальным метаморфизмом. Рассеянное органическое вещество хорошо подчеркивает систему кливажных трещин.

Сульфидная минерализация, развитая в этой зоне, представлена идиоморфно-блестищим пиритом (II тип). Кристаллы небольших размеров 1—5 мм, реже до 10 мм, близкие по форме несколько удлиненным по  $L_4$  гексаэдром, имеют чистые, без осложняющей штриховки, грани. Внешние контуры сульфидных образований и отдельные кристаллы пересекают границы слойков различного литологического состава. Заметно понижается в пиритах II типа содержания элементов-примесей, за исключением мышьяка (см. табл. 1), повышаются значения микротвердости ( $1097 \text{ кгс}/\text{мм}^2$ ), тип проводимости становится электронно-дырочным. Кварцево-жильные тела этого уровня имеют незначимую золотоносность. Главные минералы жил: кварц, альбит, карбонат, галенит, пирит, халькопирит, очень редко — арсенопирит, золото. Температура декрепитации (°C): кварца 260—200, пирита — 230—210, галенита — 220—200, арсенопирита — 140—120.

Альбит-мусковитовая зона выделяется более интенсивными преобразованиями пород. Помимо серицита, хлорита в составе алевроцелитов существенная роль принадлежит новообразованиям мусковита (2—3 %), песчаников — альбита (5—7 %). Структуры пород блестищие, текстуры сланцеватые. Рассеянное органическое вещество расташено по кливажным трещинам, образуя тонкоразветвленные, прихотливой формы образования. Широко развит процесс переотложения вещества в теневых участках.

Сульфидные образования сложены крупными (до 3 см) идиоморфными кристаллами пирита с оторочкой шестоватого кварца с идеально

чистыми, без штриховки, гранями (III тип). Кристаллы пирита имеют форму ромбогексаэдров, призм, удлиненных по оси  $L_4$  или  $L_2$  и ориентированных, как и шестоватые агрегаты кварца в оторочках, по кливажу. Пирит этого типа выделяется минимальными содержаниями элементов-примесей, кроме мышьяка (см. табл. 1). Повышается значение микротвердости (до 1158 кгс/мм<sup>2</sup>), термоЭДС, тип проводимости существенно дырочный. Со/Ni-отношение больше единицы.

Благоприятные для локализации золотокварцевого оруденения горизонты характеризуются наибольшей насыщенностью жильными образованиями и их значимой продуктивностью. Основные минералы: кварц, альбит, карбонат, золото, галенит, арсенопирит, пирит, сфалерит, блеклые руды, халькопирит (?). Температуры декрепитации (°С): кварца 460—430, 300—260, арсенопирита — 300—260, галенита — 270—250, 230—200, пирита — 220—200, золота — 230—210, сфалерита — 200. Здесь же следует охарактеризовать типоморфные свойства пирита жильных тел, выделенного нами как IV морфологический тип и представленного кристаллами кубической формы, с ясно выраженной штриховкой на гранях. Пириты IV достаточно хорошо обособляются от пиритов I—III более высокими содержаниями золота, цинка, никеля, мышьяка и пониженными — серебра, меди, кобальта. Соответственно, намного меньшим единицы оказалось в них отношение Со/Ni — 0,3 (0,003—0,5). Тип проводимости электронно-дырочный, значения термоЭДС и микротвердости наибольшие [6].

Постдиагенетические преобразования сопровождаются также и значительным перераспределением петрогенных компонентов в разрезе УТГ рудных полей, что наиболее отчетливо выделяется на примере щелочей. При переходе от серицитовой к альбит-мусковитовой зоне в песчаниках увеличивается содержание  $\text{Na}_2\text{O}$ , в алевропелитовых составляющих ритмопачек —  $\text{K}_2\text{O}$ . Соответственно в этих же породах происходит уменьшение содержаний  $\text{K}_2\text{O}$  и  $\text{Na}_2\text{O}$ . То есть, увеличение одного из компонентов в породе сопровождается уменьшением другого, как бы происходит дифференциация щелочей в системе песчаники-алевропелиты. Интенсивность этого процесса, почти незаметная в породах серицитовой зоны, с увеличением степени метаморфизма заметно возрастает. Еще более контрастно процесс дифференциации щелочей проявляется в локальных зонах окколужильного метасоматоза. В то же время сумма щелочей в каждой конкретной литологической разновидности в пределах метаморфической колонки остается величиной постоянной. Достаточно хорошо эти особенности и направленность дифференциации щелочей устанавливается при использовании петрохимических модулей КМ, НМ, НМ + КМ и ЩМ (рис. 2).

Заметно перераспределяются в породах окисное и закисное железо. В алевропелитах или песчаниках с возрастанием степени метаморфических преобразований, независимо от состава пород, содержания  $\text{Fe}_2\text{O}_3$  увеличиваются,  $\text{FeO}$  уменьшаются, соответственно понижается и отношение  $\text{FeO}/\text{Fe}_2\text{O}_3$  (закисный модуль) до 0,52. Интересно отметить, что в алевропелитах такая дифференциация происходит при постоянных средних содержаниях суммарного железа, в песчаниках эта величина несколько изменчива.

Установляемый характер дифференциации  $\text{Fe}_2\text{O}_3$ — $\text{FeO}$  при метаморфизме нарушается в зонах локального метасоматоза, сопровождающего кварцево-жильные зоны. В частности, песчаники альбит-мусковитовой зоны содержат более высокие, по отношению к таковым серицитовой и хлоритовой зон, количества  $\text{FeO}$ .

Золото и другие малые элементы проявляют в процессе метаморфических преобразований различную подвижность. Однозначно интерпретируется поведение золота, серебра, марганца, кобальта. Содержания золота и серебра в алевропелитах с увеличением степени преобразований четко поникаются, а остальные — направленно возрастают (табл. 2).

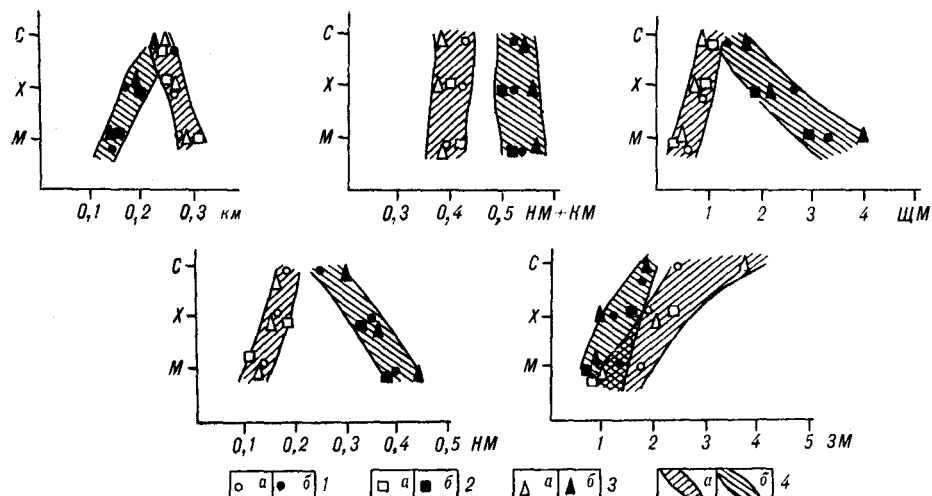


Рис. 2. Графики изменения петрохимических модулей в различных зонах метаморфизма.

1—3 — фигурационные точки алевролитов (а) и песчаников (б) трех рудных полей; 4 — контуры полей значений модулей алевролитов (а) и песчаников (б). М, Х, С — зоны метаморфизма (М — мусковитовая, Х — хлоритовая, С — серицитовая). Модули: ШМ =  $\text{Na}_2\text{O}/\text{K}_2\text{O}$ , КМ =  $\text{K}_2\text{O}/\text{Al}_2\text{O}_3$ ; НМ =  $\text{Na}_2\text{O}/\text{A}_2\text{O}_3$ ; НМ + КМ =  $\text{K}_2\text{O} + \text{Na}_2\text{O}/\text{Al}_2\text{O}_3$ ; ЗМ =  $\text{FeO}/\text{Fe}_{2}\text{O}_3$ .

В сравниваемых выборках алевропелитов ближайших метаморфических зон различия средних содержаний золота, серебра, проверенных по F-критерию Стьюдента, всегда оказываются значимыми. Средние содержания золота в алевропелитах серицитовой зоны от 3 до 7 раз превышают его кларк в глинах. В альбит-мусковитовой зоне коэффициент концентрации золота равен или меньше 1 (см. табл. 2).

Таким образом, концентрация золота в алевропелитах при переходе от серицитовой к альбит-мусковитовой зоне понижается почти на порядок, серебра — до 6 раз. В то же время песчаники, вмещающие золотоносные жилы, характеризуются накоплением почти всего спектра рассматриваемых элементов. Наибольшие значения коэффициента концентрации при этом выявляются для золота (до 44), серебра (до 27), кобальта (до 16), марганца (до 69). Причем повышенные содержания золота устанавливаются не только вблизи контактов золотоносных жил, но и во всей пачке песчаников. В алевропелитовых породах, контролирующих жилы, вмещающие песчаники, напротив, содержания золота ниже порога чувствительности химического анализа ( $8 \times 10^{-8} \%$ ). Песчаники серицитовой зоны метаморфизма заметно обеднены золотом, серебром, содержания которых близки к кларковым (табл. 3). Вероятно, дополнительного привноса элементов при рудообразовании в этом случае почти не происходит. Косвенным доказательством является и стерильность кварцевожильных зон этих уровней по отношению к золоту и отсутствие в них минералов продуктивных ассоциаций.

Подобный характер распределения с некоторыми исключениями выявляется также для ванадия, хрома, меди, стронция. Средние содержания других элементов в целом по разрезу более или менее близки.

Органический углерод заметно выносится из пород, претерпевших наибольшие преобразования, причем интенсивность этого процесса достаточно высокая. Несколько противоречивым оказывается его поведение в окологильных зонах локального метасоматоза, выявляя весьма сложный характер распределения. Здесь, наряду с дисперсным и дегритным органическим веществом, широко распространены перемещенные формы, выполняющие трещины кливажа, межслоевые отслоения.

В большинстве случаев породы непосредственно на контакте с кварцевыми жилами обеднены  $\text{C}_{\text{орг}}$ , на удалении — несколько обогащены, с формированием кварц-шунгитовых обособлений. Подобные кварц-шунгитовые обособления, передко конформные микроскладчатым структурам

Таблица 2

## Геохимическая характеристика алевропелитов по метаморфическим зонам

Элементы	Кларк в гли-нах по К. Таркину, К. Веденоплю (1961), $n \cdot 10^{-4} \%$	Серицитовая зона			Хлоритовая зона			Альбит-мусковито-вая зона		
		$\bar{X}$	V	КК	$\bar{X}$	V	КК	$\bar{X}$	V	КК
Au	1	7,4	52	7,4	2,4	80	2,4	1,1	30	1,1
Ag	0,07	0,14	48	2	0,11	30	1,6	0,05	42	0,71
Mn	850	1320	32	1,6	1579	31	1,86	1362	36	1,6
Ni	68	9,6	47	0,14	13,7	62	0,2	12	32	0,18
Co	19	8	55	0,43	8,3	26	0,44	9,7	31	0,51
Ti	4600	2666	20	0,58	3062	25	0,67	2954	33	0,64
V	130	99,6	36	0,77	100	43	0,77	100	36	0,77
Zr	160	108	33	0,67	89	21	0,56	134	39	0,84
Cu	45	16,2	47	0,36	14	44	0,31	16,5	45	0,37
Pb	20	19,1	46	0,96	27	40	1,35	32	45	1,6
Zn	95	123	65	1,3	116	52	1,22	120	2	1,26
Ba	580	362,5	31	0,63	426	0,33	0,73	346	34	0,6
Sr	30	127	25	4,2	108	32	3,60	104	27	3,5
P	700	1070	40	1,57	1064	45	1,52	1141	32	1,63
Cr	90	55	22	0,61	47	24	0,52	47	16	0,52

П р и м е ч а н и е.  $\bar{X}$  — среднее содержание; V — коэффициент вариации, %. КК — коэффициент концентрации; содержания золота приведены в мг/т (местный фон золота алевропелитоврудных полей по 250 анализам составляет 2,2 мг/т; Au — спектрохимический анализ, чувствительность  $n \cdot 10^{-7} \%$ , ЦГИ ПГО Дальгеология, другие элементы — спектральный полуколичественный анализ по двойной методике. Лаборатория ДВИМСа.

Таблица 3

## Геохимическая характеристика песчаников по метаморфическим зонам

Элементы	Кларк в песча-никах по К. Таркину, К. Веденоплю, (1961) в $n \cdot 10^{-4} \%$	Серицитовая зона		Альбит-мусковитовая зона		
		$\bar{X}$	КК	$\bar{X}$	V	КК
Au	1	1,9	1,9	43,9	89	43,9
Ag	0,01	0,008	0,8	0,27	34	27
Co	0,3	4,0	13	4,7	36	16
Ni	2	7,4	3,7	7,9	23	3,9
Cu	1—10	12,4	1,2	20,4	45	2,4
Zn	16	24,4	1,5	39,4	32	2,46
Pb	7	10,4	1,5	26,8	23	3,69
V	20	69	3,45	56,3	29	2,82
Cr	35	121	3,5	239	60	6,83
Sc	1	5,6	5,6	5,2	10	5,2
Li	15	50	3,3	15,2	14	1,01
Mn	1—10	880	88	689	26	68,9
P	170	420	2,5	684	50	4,02
Ba	1—100	360	3,6	205	44	2

П р и м е ч а н и е. Содержания золота приведены в мг/т.

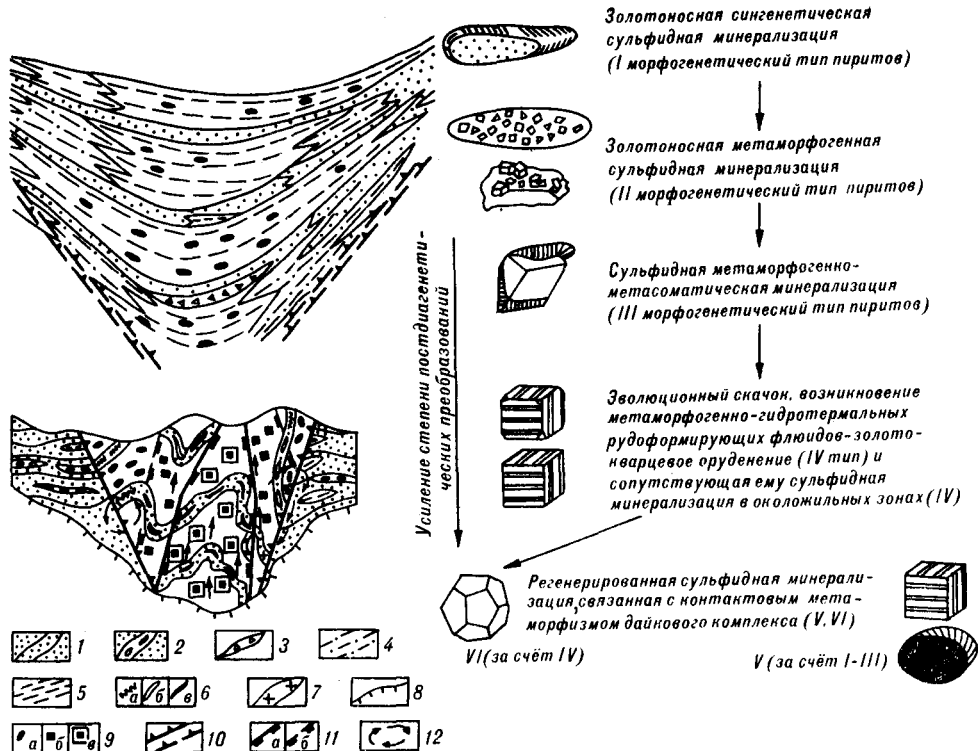


Рис. 3. Модель формирования золотокварцевого оруднения.

1 — существенно песчаниковая толща; 2 — горизонты грубозернистых пород; 3 — линзы конгломератов, конглобрекций; 4 — алевропесчаники; 5 — алевропелиты; 6 — кварцевые тела (а — не золотоносные, б — слабозолотоносные, в — имеющие практический интерес); 7 — дайки лампрофиров; 8 — стратиграфический уровень подошвыrudовмещающей толщи; 9 — типы пирита (а — конкреции, линзы тонко-мелкозернистого пирита, б — кристаллический пирит, в — крупно-кристаллический с оторочкой кварца); 10 — разрывные нарушения, концентрические, ограничивающие палеовпадины; 11 — границы зон метаморфизма (а — альбит-мусковит-хлоритовая, б — серицит-хлоритовая); 12 — пути миграцииrudовмещающих флюидов.

и окаймляющие жильные зоны, известны только в породах хлоритовой или альбит-мусковитовой зоны метаморфизма.

**IV. Модель формирования оруднения.** Строение флишоидных УТТ, изменчивость их текстурных особенностей, мощностей, реконструкция состава пород, степень дислоцированности, положение кварцево-жильных тел, характер эволюции типоморфных свойств пирита и дифференциации петrogenных и рудогенных компонентов в системе песчаники—алевропелиты позволяют понять условия формирования стратиформного золотокварцевого оруднения.

На седиментационном этапе в локальных палеовпадинах узких линейных трогов (тектонических блоков) накапливается мощная ритмично построенная углеродисто-терригенная толща турбидитовой природы. В наиболее глубоководных частях палеовпадин с благоприятной восстановительной обстановкой и концентрацией продуктов подводных газогидротерм удаленного вулканизма происходит обогащение осадков натрием, золотом, медью, мышьяком и накопление сингенетических слабозолотоносных сульфидов, что определяет в этот период границы потенциальных рудных полей.

На инверсионном этапе интенсивные дислокации в пределах линейных троговых зон и сопутствующий динамотермальный метаморфизм, с одной стороны, способствуют мобилизации, переносу активизированными поровыми растворами рудного вещества и его локализации, с другой — формированию в горизонтах грубозернистых пород и наиболее гетерогенных частях разреза соскладчатых разрывов (трещины отрыва, скола, срыва, межслоевого отслоения, кливажа), выступающих впоследствии как структурно-литологические ловушки. Такое представление под-

черкивается поведением петрогенных и рудогенных элементов, появлением эволюционного ряда пиритов с возрастанием степени динамотермального метаморфизма (рис. 3). Причем, если на ранних этапах преобразования с появлением пиритов II—III типов преобладают метаморфогенно-метасоматические процессы, то золотокварцевые жилы и пириты IV типа формируются в типичной гидротермальной системе. Заимствование рудного вещества происходит за счет продуктивных алевропелитовых составляющих и сингенетической сульфидной минерализации. Этому не противоречат идентичность состава газов, спектра микроэлементов в пиритах I—IV типов и сродство жилоформирующего метаморфогенного флюида, имеющего, по данным водных вытяжек, бикарбонатно-хлоридно-щелочной состав, с геохимическими особенностями алевропелитов. Причем проведенные подсчеты показывают, что при преобразованиях условий альбит-мусковитовой зоны динамотермального метаморфизма только из сульфидов УТТ высвобождается достаточное для формирования среднего месторождения количество вещества [6].

Предложенная модель позволила авторам успешно продолжить исследования стратиформных месторождений УТТ миогеосинклиналей Востока СССР.

## ЛИТЕРАТУРА

1. Буряк В. А. Метаморфизм и рудообразование.— М.: Недра, 1982.
2. Власов Г. М., Борисов О. Г., Петраченко Е. Д., Попкова М. И. Общие условиямагматизма и рудообразования в геосинклиналях.— М.: Наука, 1978.
3. Гринберг Г. А., Бахарев А. Г., Гамянин Г. Н. и др. Гранитоиды Южного Верхоянья.— М.: Наука, 1970.
4. Жабин А. Г. Онтогенез минералов. Агрегаты.— М.: Наука, 1979.
5. Константинов М. М., Косовец Т. Н., Орлова Г. Ю. и др. Факторы локализации стратиформного золотокварцевого оруденения // Геология рудн. месторождений.— 1988.— Т. XXV, № 5.— С. 59—69.
6. Мирзеханов Г. С. Морфогенетические особенности пиритов в метаморфизованных углеродисто-терригенных толщах (на примере Южно-Верхоянского синклино-рия) // Рудоносность Приамурья/АмурКНИИ. ДВО АН СССР.— Владивосток, 1987.— С. 39—44.
7. Паталаха Е. Н. Тектонофациальный анализ складчатых сооружений фанерозоя (обоснование, методика, приложение).— М.: Недра, 1985.
8. Петтиджон Ф. Осадочные породы/Под ред. И. М. Симановича, П. П. Тимофеева.— М.: Недра, 1981.
9. Предовский А. А. Реконструкции условий седиментогенеза и вулканизма раннего докембрия.— Л.: Наука, 1980.
10. Романовский С. И. Динамические режимы осадконакопления. Циклогенез.— Л.: Недра, 1985.
11. Ронов А. Б., Ярошевский А. А. Химическое строение земной коры // Геохимия.— 1967.— № 11.— С. 1285—1310.
12. Ручкина Ю. Р. Литофация золотоносных черносланцевых толщ — индикаторы среды рудообразования // Сов. геология.— 1990.— № 3.— С. 32—41.
13. Силичев М. К., Белозерцева Н. В. Время и условия образования согласных золотокварцевых жил Южного Верхоянья // Тихоокеан. геология.— 1985.— № 4.— С. 52—58.
14. Симанович И. М. Кварц песчаных пород.— М.: Наука, 1978.
15. Шило Н. А., Гончаров В. И., Альшевский А. В., Ворцепнев В. В. Условия формирования золотого оруденения в структурах Северо-Востока СССР.— М.: Наука, 1988.
16. Юдович Я. Э. Региональная геохимия осадочных толщ.— Л.: Наука, 1981.

ДВИМС  
Хабаровск

Поступила в редакцию  
14 августа 1991 г.